

Starkniederschlagshöhen und -spenden gemäß KOSTRA-DWD-2020

Rasterfeld 106124

(Zeile 106, Spalte 124)

Regenspende und Bemessungsniederschlagswerte in Abhängigkeit von Wiederkehrzeit T und Dauerstufe D

| Dauerstufe D | | Wiederkehrzeit T | | | | | | | | | | | | | | | | | |
|--------------|-----|------------------|------------|------|------------|------|------------|------|------------|------|------------|-------|------------|-------|------------|-------|------------|-------|------------|
| | | 1 a | | 2 a | | 3 a | | 5 a | | 10 a | | 20 a | | 30 a | | 50 a | | 100 a | |
| min | Std | mm | l / (s ha) | mm | l / (s ha) | mm | l / (s ha) | mm | l / (s ha) | mm | l / (s ha) | mm | l / (s ha) | mm | l / (s ha) | mm | l / (s ha) | mm | l / (s ha) |
| 5 | | 7,1 | 236,7 | 8,8 | 293,3 | 9,8 | 326,7 | 11,2 | 373,3 | 13,1 | 436,7 | 15,1 | 503,3 | 16,4 | 546,7 | 18,2 | 606,7 | 20,6 | 686,7 |
| 10 | | 9,1 | 151,7 | 11,2 | 186,7 | 12,5 | 208,3 | 14,2 | 236,7 | 16,7 | 278,3 | 19,2 | 320,0 | 20,9 | 348,3 | 23,1 | 385,0 | 26,2 | 436,7 |
| 15 | | 10,3 | 114,4 | 12,6 | 140,0 | 14,1 | 156,7 | 16,1 | 178,9 | 18,9 | 210,0 | 21,8 | 242,2 | 23,6 | 262,2 | 26,1 | 290,0 | 29,7 | 330,0 |
| 20 | | 11,2 | 93,3 | 13,7 | 114,2 | 15,4 | 128,3 | 17,5 | 145,8 | 20,5 | 170,8 | 23,6 | 196,7 | 25,7 | 214,2 | 28,4 | 236,7 | 32,2 | 268,3 |
| 30 | | 12,5 | 69,4 | 15,4 | 85,6 | 17,2 | 95,6 | 19,5 | 108,3 | 22,9 | 127,2 | 26,5 | 147,2 | 28,8 | 160,0 | 31,8 | 176,7 | 36,1 | 200,6 |
| 45 | | 13,9 | 51,5 | 17,1 | 63,3 | 19,1 | 70,7 | 21,8 | 80,7 | 25,6 | 94,8 | 29,5 | 109,3 | 32,0 | 118,5 | 35,4 | 131,1 | 40,2 | 148,9 |
| 60 | 1 | 15,0 | 41,7 | 18,5 | 51,4 | 20,6 | 57,2 | 23,5 | 65,3 | 27,5 | 76,4 | 31,8 | 88,3 | 34,5 | 95,8 | 38,1 | 105,8 | 43,3 | 120,3 |
| 90 | 1,5 | 16,6 | 30,7 | 20,5 | 38,0 | 22,9 | 42,4 | 26,0 | 48,1 | 30,6 | 56,7 | 35,2 | 65,2 | 38,3 | 70,9 | 42,3 | 78,3 | 48,1 | 89,1 |
| 120 | 2 | 17,9 | 24,9 | 22,0 | 30,6 | 24,6 | 34,2 | 28,0 | 38,9 | 32,9 | 45,7 | 37,9 | 52,6 | 41,2 | 57,2 | 45,5 | 63,2 | 51,7 | 71,8 |
| 180 | 3 | 19,8 | 18,3 | 24,4 | 22,6 | 27,2 | 25,2 | 31,0 | 28,7 | 36,4 | 33,7 | 41,9 | 38,8 | 45,6 | 42,2 | 50,4 | 46,7 | 57,2 | 53,0 |
| 240 | 4 | 21,2 | 14,7 | 26,2 | 18,2 | 29,3 | 20,3 | 33,3 | 23,1 | 39,1 | 27,2 | 45,1 | 31,3 | 49,0 | 34,0 | 54,1 | 37,6 | 61,4 | 42,6 |
| 360 | 6 | 23,5 | 10,9 | 29,0 | 13,4 | 32,3 | 15,0 | 36,8 | 17,0 | 43,2 | 20,0 | 49,8 | 23,1 | 54,1 | 25,0 | 59,8 | 27,7 | 67,9 | 31,4 |
| 540 | 9 | 26,0 | 8,0 | 32,0 | 9,9 | 35,8 | 11,0 | 40,7 | 12,6 | 47,8 | 14,8 | 55,1 | 17,0 | 59,8 | 18,5 | 66,1 | 20,4 | 75,1 | 23,2 |
| 720 | 12 | 27,9 | 6,5 | 34,4 | 8,0 | 38,4 | 8,9 | 43,7 | 10,1 | 51,3 | 11,9 | 59,1 | 13,7 | 64,2 | 14,9 | 71,0 | 16,4 | 80,6 | 18,7 |
| 1080 | 18 | 30,8 | 4,8 | 38,0 | 5,9 | 42,4 | 6,5 | 48,2 | 7,4 | 56,6 | 8,7 | 65,3 | 10,1 | 71,0 | 11,0 | 78,4 | 12,1 | 89,0 | 13,7 |
| 1440 | 24 | 33,0 | 3,8 | 40,7 | 4,7 | 45,5 | 5,3 | 51,8 | 6,0 | 60,8 | 7,0 | 70,1 | 8,1 | 76,2 | 8,8 | 84,1 | 9,7 | 95,6 | 11,1 |
| 2880 | 48 | 39,2 | 2,3 | 48,3 | 2,8 | 53,9 | 3,1 | 61,3 | 3,5 | 72,0 | 4,2 | 83,1 | 4,8 | 90,3 | 5,2 | 99,7 | 5,8 | 113,3 | 6,6 |
| 4320 | 72 | 43,3 | 1,7 | 53,3 | 2,1 | 59,6 | 2,3 | 67,8 | 2,6 | 79,6 | 3,1 | 91,7 | 3,5 | 99,7 | 3,8 | 110,1 | 4,2 | 125,1 | 4,8 |
| 5760 | 96 | 46,4 | 1,3 | 57,2 | 1,7 | 63,9 | 1,8 | 72,7 | 2,1 | 85,4 | 2,5 | 98,4 | 2,8 | 107,0 | 3,1 | 118,2 | 3,4 | 134,2 | 3,9 |
| 7200 | 120 | 49,0 | 1,1 | 60,4 | 1,4 | 67,5 | 1,6 | 76,8 | 1,8 | 90,2 | 2,1 | 104,0 | 2,4 | 113,0 | 2,6 | 124,8 | 2,9 | 141,8 | 3,3 |
| 8640 | 144 | 51,3 | 1,0 | 63,2 | 1,2 | 70,6 | 1,4 | 80,3 | 1,5 | 94,3 | 1,8 | 108,7 | 2,1 | 118,2 | 2,3 | 130,5 | 2,5 | 148,3 | 2,9 |
| 10080 | 168 | 53,2 | 0,9 | 65,6 | 1,1 | 73,3 | 1,2 | 83,4 | 1,4 | 97,9 | 1,6 | 112,9 | 1,9 | 122,7 | 2,0 | 135,6 | 2,2 | 154,0 | 2,5 |

Starkniederschlagshöhen und -spenden gemäß KOSTRA-DWD-2020

Rasterfeld 106124

(Zeile 106, Spalte 124)

Örtliche Unsicherheiten in Abhängigkeit von Wiederkehrzeit T und Dauerstufe D

| Dauerstufe D | | Wiederkehrzeit T | | | | | | | | |
|--------------|-----|------------------|-----|-----|-----|------|------|------|------|-------|
| | | 1 a | 2 a | 3 a | 5 a | 10 a | 20 a | 30 a | 50 a | 100 a |
| min | Std | ± % | ± % | ± % | ± % | ± % | ± % | ± % | ± % | ± % |
| 5 | | 13 | 14 | 14 | 15 | 16 | 17 | 17 | 18 | 18 |
| 10 | | 15 | 17 | 18 | 19 | 20 | 21 | 21 | 22 | 22 |
| 15 | | 17 | 19 | 20 | 21 | 22 | 23 | 23 | 24 | 25 |
| 20 | | 17 | 20 | 21 | 22 | 23 | 24 | 24 | 25 | 26 |
| 30 | | 18 | 20 | 21 | 22 | 24 | 25 | 25 | 26 | 27 |
| 45 | | 18 | 20 | 21 | 23 | 24 | 25 | 25 | 26 | 27 |
| 60 | 1 | 18 | 20 | 21 | 22 | 24 | 25 | 25 | 26 | 26 |
| 90 | 1,5 | 17 | 19 | 20 | 22 | 23 | 24 | 24 | 25 | 26 |
| 120 | 2 | 16 | 19 | 20 | 21 | 22 | 23 | 24 | 24 | 25 |
| 180 | 3 | 15 | 17 | 19 | 20 | 21 | 22 | 23 | 23 | 24 |
| 240 | 4 | 14 | 17 | 18 | 19 | 20 | 21 | 22 | 22 | 23 |
| 360 | 6 | 13 | 16 | 17 | 18 | 19 | 20 | 20 | 21 | 22 |
| 540 | 9 | 13 | 15 | 16 | 17 | 18 | 19 | 19 | 20 | 20 |
| 720 | 12 | 12 | 14 | 15 | 16 | 17 | 18 | 18 | 19 | 20 |
| 1080 | 18 | 12 | 14 | 14 | 15 | 16 | 17 | 17 | 18 | 19 |
| 1440 | 24 | 12 | 13 | 14 | 15 | 16 | 16 | 17 | 17 | 18 |
| 2880 | 48 | 13 | 14 | 14 | 14 | 15 | 16 | 16 | 16 | 17 |
| 4320 | 72 | 15 | 14 | 15 | 15 | 15 | 16 | 16 | 16 | 17 |
| 5760 | 96 | 16 | 15 | 15 | 15 | 16 | 16 | 16 | 16 | 17 |
| 7200 | 120 | 16 | 16 | 16 | 16 | 16 | 16 | 16 | 17 | 17 |
| 8640 | 144 | 17 | 17 | 16 | 16 | 17 | 17 | 17 | 17 | 17 |
| 10080 | 168 | 18 | 17 | 17 | 17 | 17 | 17 | 17 | 17 | 17 |

Parameter für abweichende T und D

Lokationsparameter ξ (Xi)

15,19206499

Skalenparameter α (Alpha)

4,91598753

Formparameter κ (Kappa)

-0,1

1. Koutsoyiannis-Parameter θ (Theta)

0,01794706

2. Koutsoyiannis-Parameter η (Eta)

0,75511089

Parameter für dauerstufenübergreifende Extremwertschätzung nach KOUTSOYIANNIS et al. 1998.

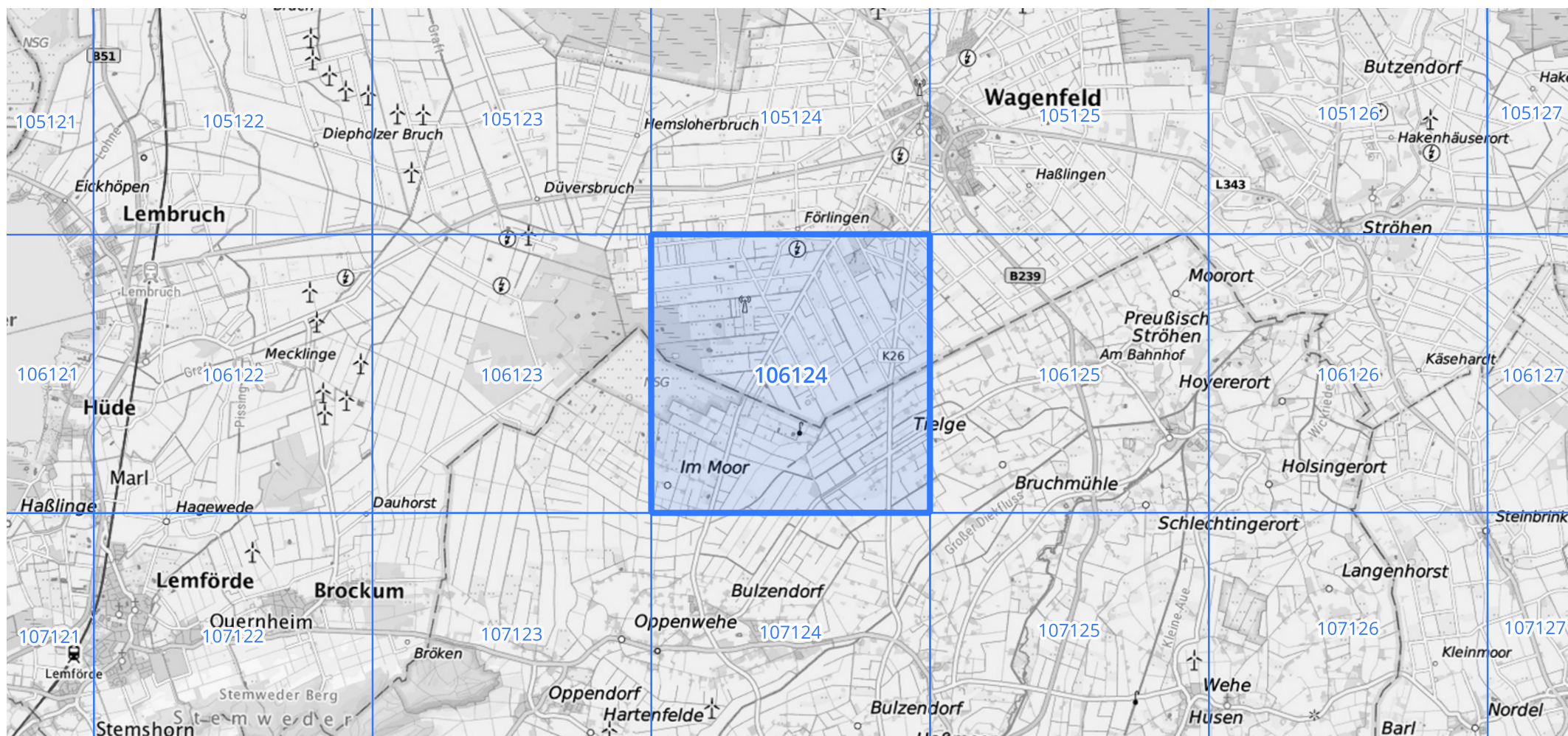
Siehe auch Anwendungshilfe zu KOSTRA-DWD-2020 des Deutschen Wetterdienstes.

Starkniederschlagshöhen und -spenden gemäß KOSTRA-DWD-2020

Rasterfeld 106124

(Zeile 106, Spalte 124)

Übersichtskarte des Rasterfeldes 106124, M 1 : 100 000



Quelle Rasterdaten: KOSTRA-DWD-2020 des Deutschen Wetterdienstes, Stand 12/2022.

Seite 3 von 3

Kartendarstellung: © Bundesamt für Kartographie und Geodäsie (2023), Datenquellen: https://sgx.geodatenzentrum.de/web_public/gdz/datenquellen/Datenquellen_TopPlusOpen.html

Für die Richtigkeit und Aktualität der Angaben wird keine Gewähr übernommen. Erstellt 01/2023.